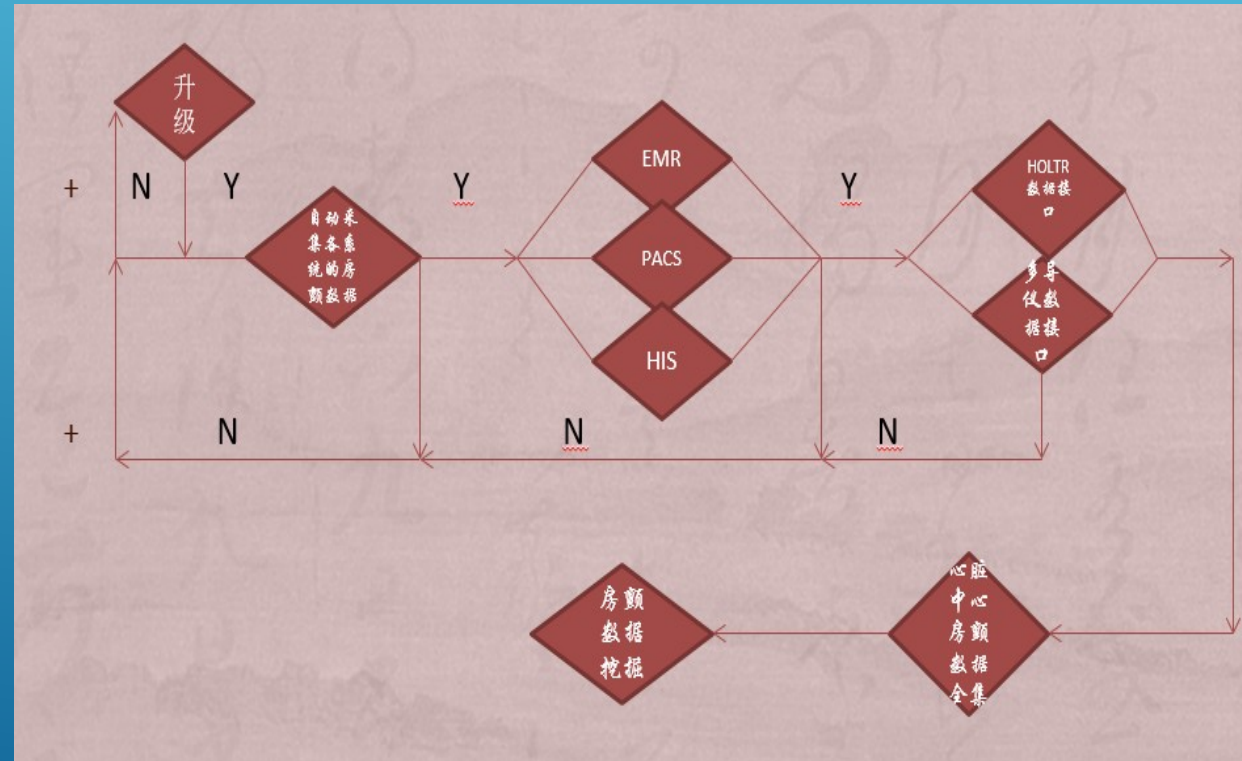


医学数据挖掘的成果与实践

邵学杰 李强 王艳铭

北京杰杰科技有限公司

A	B	C	D	E	F	G	H	I	J	K	L	M	N	O	P	Q	R	S
年龄	性别	籍贯	身高	体重	病史	心率	心率变异	ST段分析	室性节律	室上性节律	督导仪	HOLTER		心率	心率变异	ST段分析	室性节律	室上性节律
7																		
8																		



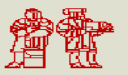
数据库	
采集项目名称	
患者信息	血液检查
患者体检信息	HOLTER 机器诊断
临床诊断	HOLTER 临床诊断
超声心动图	特殊检查
常规心电图	血清酶指标
用药情况	共计: 113 项

案例1：房颤与肾功能的关联性



MIT-BIH Database Distribution

Harvard-MIT Division of Health Sciences and Technology



Welcome!

We invite you to visit [PhysioNet](#), the on-line component of the Research Resource for Complex Physiologic Signals, where you will find the data, software, and reference materials previously posted here or included on our CD-ROMs, and much more.

Since 1999, with the support of the National Center for Research Resources of the National Institutes of Health, we have been able to make a large amount of our data and software available freely via PhysioNet. Our CD-ROMs contained only a small fraction of the [data](#) and [software](#) freely available on PhysioNet. [Everything previously available on our CD-ROMs](#) is now downloadable without cost from PhysioNet, and we encourage you to use this service.

Links:

Our laboratory, the [Laboratory for Computational Physiology](#), is part of the [Harvard-MIT Division of Health Sciences and Technology](#).

We collaborate closely with colleagues at

- the [Margret & H.A. Rey Laboratory for Nonlinear Dynamics in Medicine](#) at Boston's [Beth Israel Deaconess Medical Center](#)
- the [Center for Polymer Studies at Boston University](#)
- Boston's Hebrew Rehabilitation Center for Aged
- the [Laboratory of Biomedical Computer Systems and Imaging](#) at the [University of Ljubljana](#) (Slovenia)
- the [National Research Council \(CNR\) Institute of Clinical Physiology](#) in Pisa (Italy)
- the [Center for Nonlinear Dynamics in Physiology and Medicine](#) at McGill University

Here is a brief exploration of [heart rate time series](#), with examples.

Meet us at [Computers in Cardiology](#)! We hosted the 1986 and 2000 annual conferences and attend CinC regularly.

Your comments and suggestions are welcome; please send them to:

[George B. Moody \(george@mit.edu\)](mailto:George.B.Moody@mit.edu)

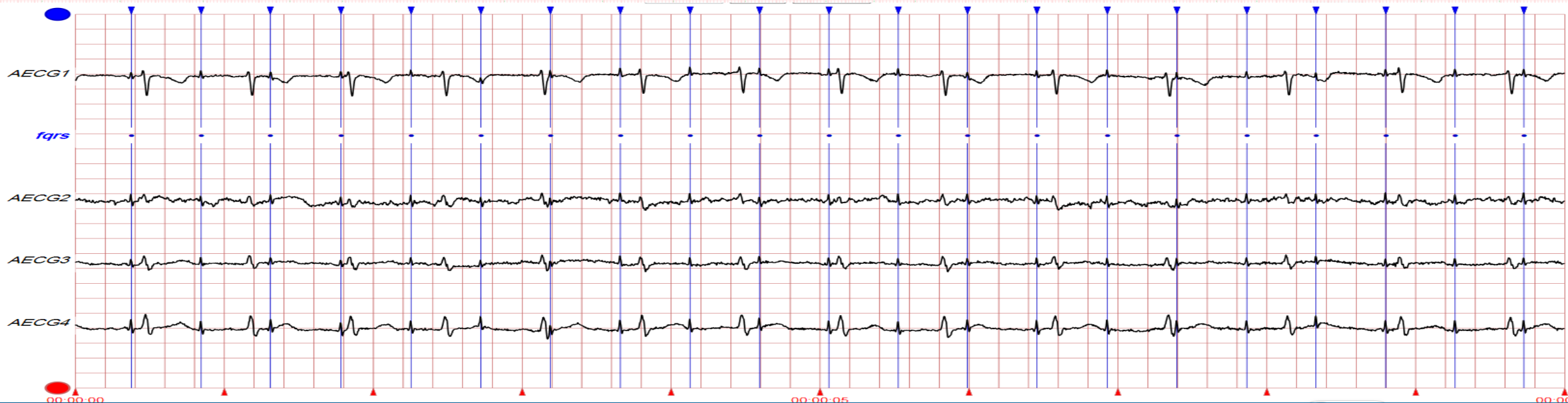
Harvard-MIT Division of Health Sciences and Technology

MIT Room E25-5054

Cambridge, MA 02139 USA

Updated 22 July 2005.

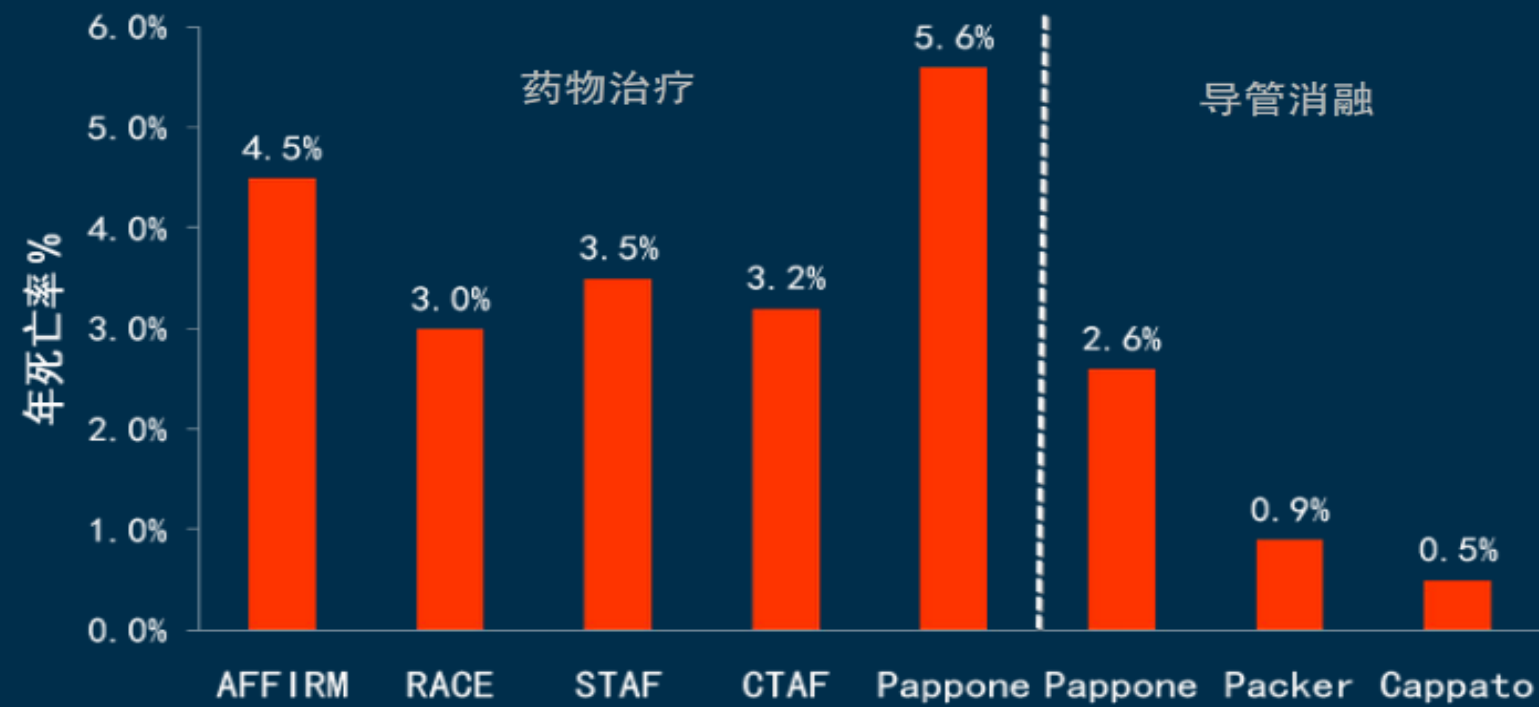
Powered by APACHE



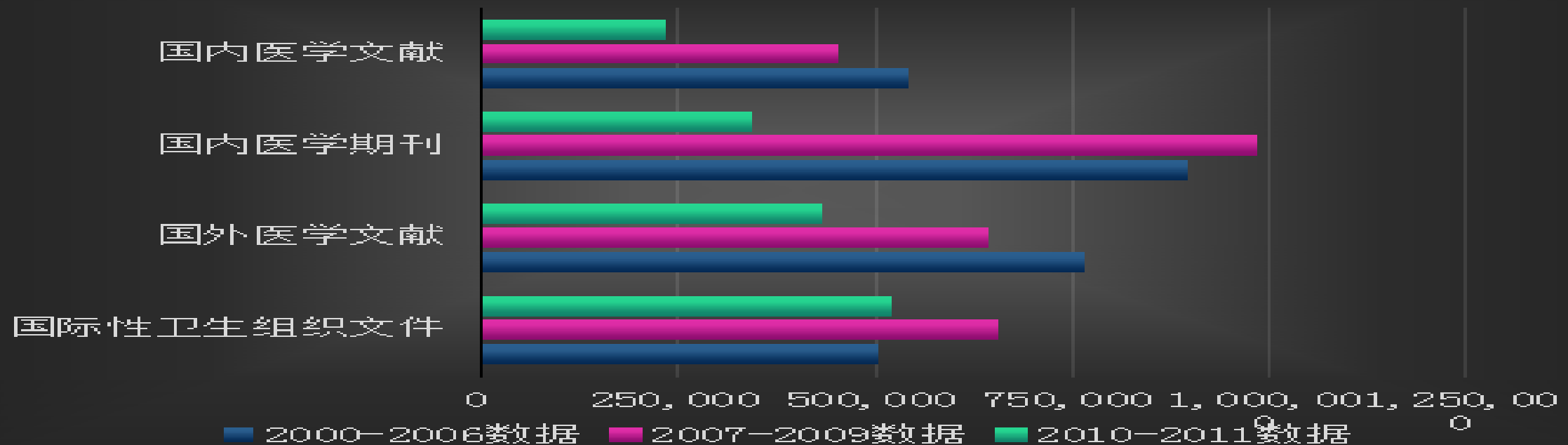
- 解释性数据分析
- 描述性建模
- 预测性建模
- 知识性的发现
- 序列模式发现
- 依赖关系的发现
- 异常与趋势发现

医学数据挖掘的7种模式

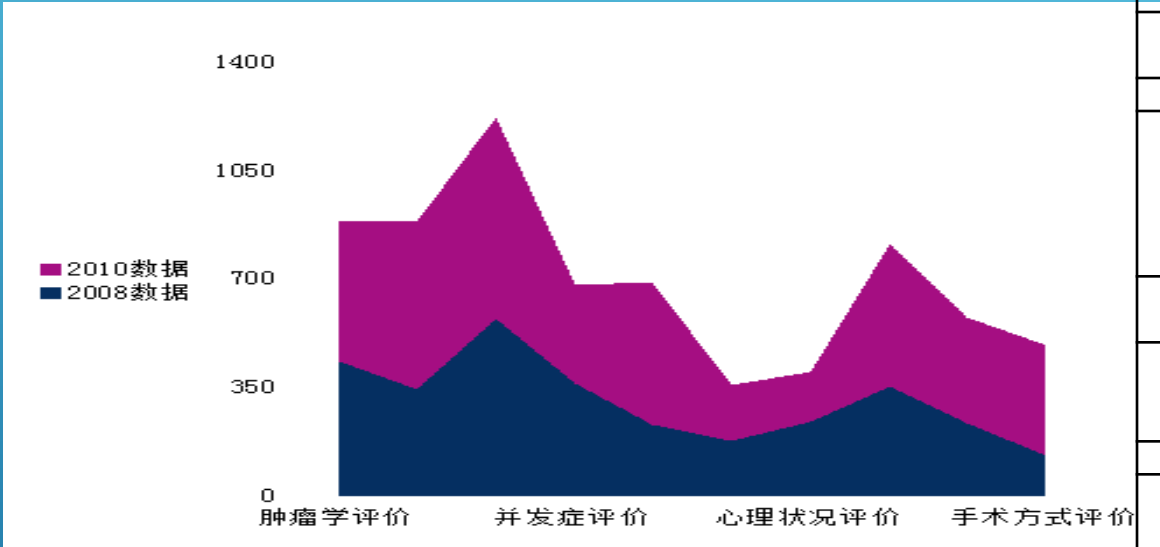
死亡率：药物 vs 导管消融



老年肺癌文献



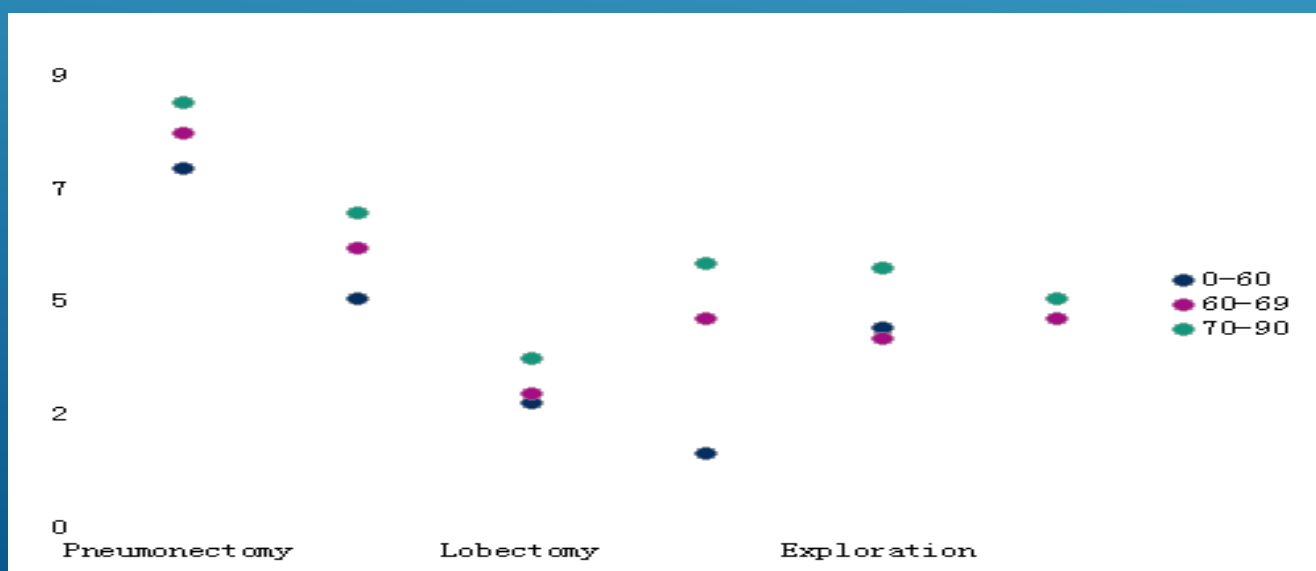
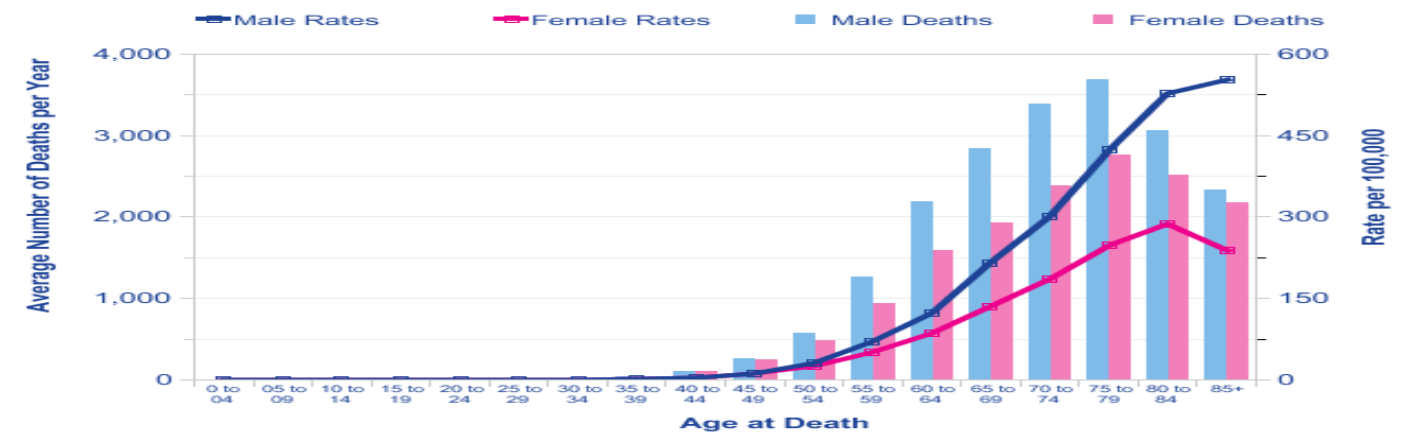
案例2：老年肺癌研究（双盲实验）



肿瘤学评价	一次标准的肿瘤学检查包括但不限于：彻底的病史及体检，支气管镜，CT/PET CT，血液检查，组织活检
老龄因素评价	身体功能，并发症探测，认知，心理，围术期护理，药物
身体功能 并发症	主要是与手术相关的心血管，肺功能测试 老年人过往病史研判，体检结果研判。能否预测哪些肺癌患者术后效果好、生存时间较长些？可用公用的预后评估模型察尔森合并症严重度指标 (Charlson comorbidity index, CCI) 为基础。
认知能力	认知缺陷对术前检查很重要，对术后康复也有重大影响
营养状况	老龄人口手术风险主要是耐受性。老年人营养差，身体弱会对手术，化疗的耐受性产生重大影响。
心理状况	30%的老年肿瘤患者都有心理疾病
手术方式选择	按照美国SEER数据库显示：右全肺切除要尽量避免，这与术后生存率息息相关。数据挖掘后还发现：年轻人肺段切和楔形切的生存率大大低于肺叶切除术，老年人则无此差别，就局部复发而言，肺段切高于肺叶切。
社会支持因素	老人家庭的支持，围术期护理至关重要

手术适用模型

	VATS Lobectomy	Open Segmentectomy	Significance
Mean % Predicted FEV1 (Range)	54(31-69)	51(34-69)	p=0.76
Mean Operating Time (mins) (Range)	204(80-270)	195(114-266)	p=0.9
ITU admission	3 (5.7%)	3 (5.7%)	p=1
30 day mortality	3 (5.7%)	3 (5.7%)	p=1
Length of Stay (days) (Range)	8.8 (3-67)	10.4 (3-32)	p=0.97
Mean Survival Years	6	5.4	p=0.98



资料表明电视胸腔镜（VATS）技术在早期肺癌切除中并没有优势，这也是很多胸外科医生仍然偏爱小切口开胸手术的原因。

从1971年-2009年，英国每十万人中肺癌死亡率综合成缓降趋势，然而男性与女性有较大的差别，男性死亡率呈下降趋势而女性呈缓慢增长的趋势。女性肺癌患者30年来比较平稳的死亡率表明英国社会肺癌的环境因素在长达30年的过程中没有太大的变化，人口老龄化，职业女性，外来移民女性吸烟习惯的增加是重要的因素

10万例肺癌手术中，Pneumonectomy死亡率最高7.2%，Segmental/wedge最低1.5%，Bilobectomy4.6%高于Lobectomy2.5%，这深刻的表明肺癌生长部位，手术切除部位与方法对患者存活率有重大影响，老人肺全切可能导致呼吸系统衰竭。

在许多假设机制中，心率升高可能直接影响心血管风险，多数与心肌需氧增加、能量缺乏、动脉粥样硬化进展或斑块破裂风险升高有关。

如果上述假设为真，心率数据隐含着什么真相？心率与哪些风险相关？

冠心病患者的风险临界点能否用单一心率指标作风险提示？
心率升高与结局之间的定量关系如何描述？

能否用数据挖掘的手段给出答案？

案例3：心率数据的模式识别

表1 患者基线特征

	心率<70次/min (n = 2745)	心率≥70次/min (n = 2693)	P
人口统计学特征			
年龄(岁)	65.6 (8.2)	64.4 (8.6)	< 0.000 1
性别(男)	2298 (84%)	2209 (82%)	0.098
当前吸烟者	353 (13%)	481 (18%)	< 0.000 1
体重指数(kg/m ²)	28.3 (4.1)	28.7 (4.7)	0.001 6
既往病史			
高血压病史	1911 (70%)	1927 (72%)	0.12
糖尿病史	864 (31%)	1155 (43%)	< 0.000 1
血脂异常病史	2155 (79%)	2123 (79%)	0.77
既往心肌梗死	2468 (90%)	2349 (87%)	0.001 9
经皮冠状动脉介入或冠状动脉搭桥术	1464 (53%)	1360 (51%)	0.037
卒中史	468 (17%)	503 (19%)	0.12
周围动脉疾病史	346 (13%)	402 (15%)	0.013
心脏参数			
心率(次/min)	64.1 (2.8)	79.2 (8.7)	..
收缩压(mmHg)	127.2 (15.2)	128.5 (15.7)	0.001 7
舒张压(mmHg)	76.7 (9.2)	78.3 (9.2)	< 0.000 1
左室射血分数(%)	32.7 (5.3)	31.9 (5.7)	< 0.000 1
NYHA心力衰竭分级I级	467 (17%)	373 (14%)	< 0.000 1
NYHA心力衰竭分级II级	1744 (64%)	1615 (60%)	
NYHA心力衰竭分级III级	534 (19%)	705 (26%)	
随机分组时的治疗药物			
阿司匹林或抗血小板药物	2596 (95%)	2507 (93%)	0.023
血管紧张素转换酶抑制剂和(或)血管紧张素Ⅱ受体抑制剂	2452 (89%)	2421 (90%)	0.049
β受体阻断剂	2465 (90%)	2273 (84%)	< 0.000 1
他汀类药物	2087 (76%)	1945 (72%)	0.001 4
利尿剂(除外醛固酮拮抗剂)	1490 (54%)	1704 (63%)	< 0.000 1
硝酸酯类药物	1133 (41%)	1202 (45%)	0.012 3
醛固酮拮抗药物	666 (24%)	800 (30%)	< 0.000 1

除非特别说明，数据以n(%)或 \bar{x} (s)表示。NYHA = 纽约心脏协会。1 mmHg ≈ 0.133 kPa

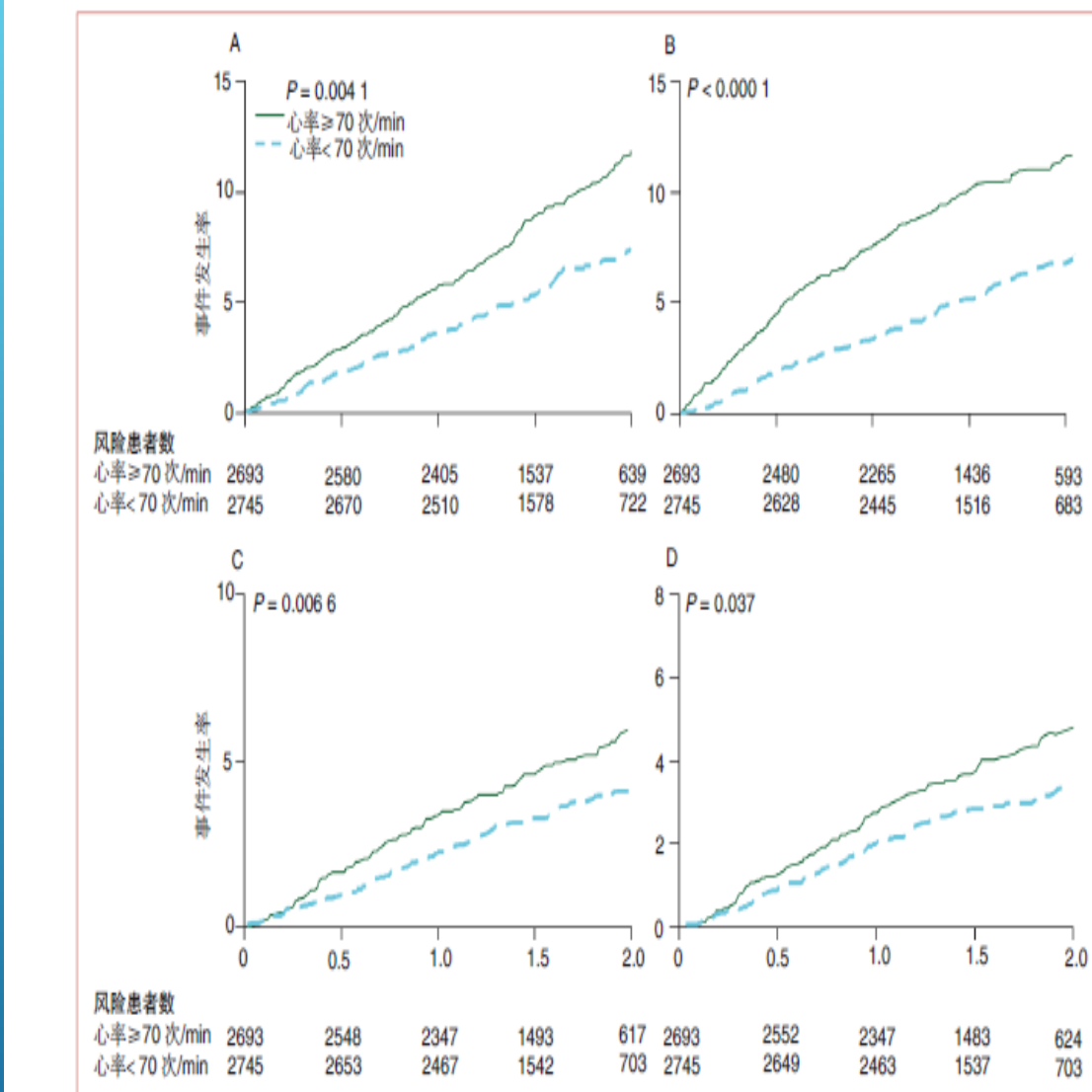
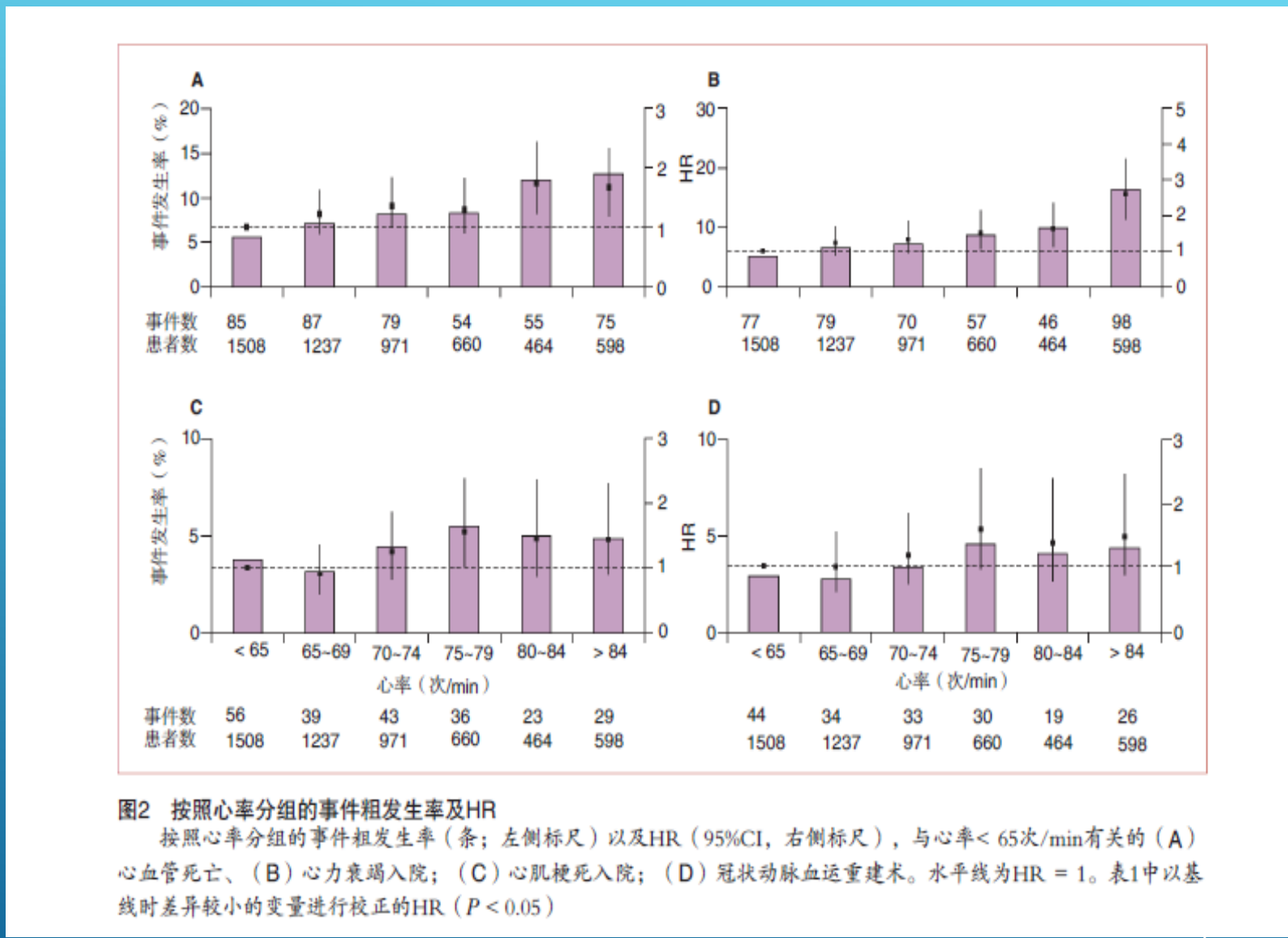


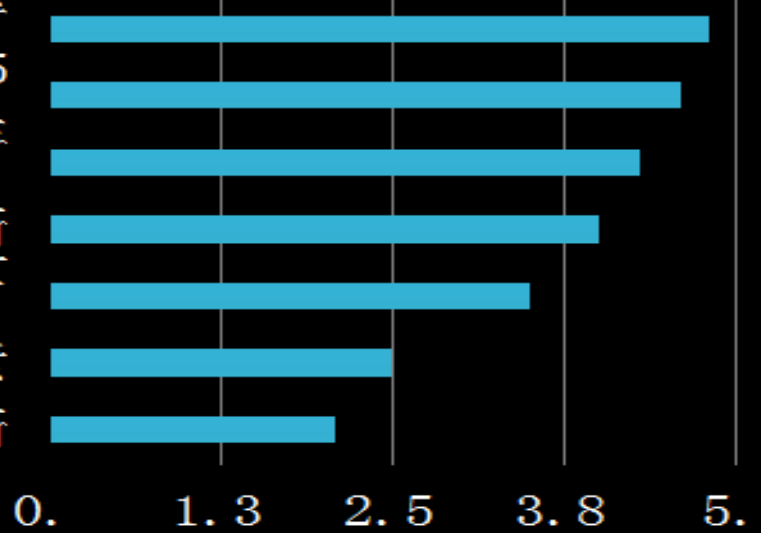
图1 Kaplan-Meier 时间-事件曲线，分别为心率与心血管死亡(A)、心力衰竭入院(B)、心肌梗死入院(C)及冠状动脉血运重建(D)



- 结 论 在冠心病和左室收缩功能障碍的患
- 者中，心率升高 (≥ 70 次/min) 意味着心血管疾病
- 结局风险升高，同时对心力衰竭相关性结局与冠
- 状动脉事件相关性结局有着不同的影响

胰腺癌特点

胰腺癌40年生存率
胰腺癌只有最长5年存活率
4%的在诊断后1年去世
没有早期诊断
大部份的癌症死亡率都在下降
找不到危险因素
没有治疗诊断



案例4：胰腺癌与二型糖尿病

变量名称	变量指标
血糖控制和胰岛素敏感性指标	OGTT 中的空腹血糖水平(FPG) (mmol /L)
	OGTT 中的空腹胰岛素水平(FINS) (pmol /L)
	OGTT 中的餐后 2 h 血糖水平(PBG) (mmol /L)
	OGTT 中的餐后 2 h 胰岛素水平(FINS) (pmol /L)
	糖化血红蛋白(HbA1c) (%)
糖尿病相关的脂代谢指标	第一次就诊时的总胆固醇水平(TC) (mmol /L)
	第一次就诊时的甘油三酯水平(TG) (mmol /L)
	第一次就诊时的低密度脂蛋白胆固醇水平(LDL - C) (mmol /L)
	体重指数(BMI)
糖尿病相关的肝、肾功能指	总胆红素水平(TBIL) (μ mol /L)
	γ -谷氨酰转肽酶水平(γ - GT) (u / L)
	胱抑素C(Cystatin C) (mg /L)
	肌酐(酚法) (CR) (μ mol /L)

